

# ایجاد سطح فوق‌آبگریز بر روی آلیاژ منیزیم AZ31 به کمک غوطه‌وری شیمیایی و بررسی مقاومت به خوردگی آن

مهدی یگانه، نیلوفر محمدی، سید مهدی مرعشی

گروه مهندسی مواد، دانشکده مهندسی، دانشگاه شهید چمران اهواز، اهواز، ایران

(دریافت مقاله: ۹۶/۰۵/۰۶ - پذیرش مقاله: ۹۷/۰۲/۱۹)

## چکیده

با توجه به کاربردهای وسیع آلیاژهای منیزیم در صنایع گوناگون، خواص ضعیف سطحی آنها مانند مقاومت به اکسیداسیون و خوردگی همواره بعنوان یک چالش مهم در تجاری سازی این آلیاژها مطرح بوده است. ایجاد سطوح فوق‌آبگریز روشی کارآمد و موثر جهت بهبود مقاومت به خوردگی ضعیف آلیاژهای منیزیم بوده که در سال‌های اخیر بیش از پیش مورد توجه قرار گرفته است. در این تحقیق، ایجاد ساختار فوق‌آبگریز (SHPs) به روی آلیاژ AZ31 منیزیم به کمک غوطه‌وری درون محلول استارتریک اسید (SA) مورد بررسی قرار گرفته است. زاویه تعاس آب با سطح به دست آمده  $151.5^\circ$  اندازه‌گیری شده است. طیف‌سنجی تبدیل فوریه مادون قرمز (FTIR) حضور پیوندهای مربوط به استارتریک اسید را روی سطح ارایه داد. همچنین تصاویر میکروسکوپ الکترونی روبشی گسیل میدانی (FESEM) وجود یک ساختار پولک مانند را که موجب جلوگیری از نفوذ الکتروولیت به زیرلایه منیزیم شده بود را نشان داد. نتایج آزمون طیف‌سنجی امپدانس الکتروشیمیایی (EIS) و پلاریزاسیون پتانسیوبدینامیک مشخص نمود مقاومت به خوردگی سطح آبگریز حدود ۱۰۰۰ برابر از آلیاژ منیزیم بیشتر است که به دلیل مورفلوژی زیر و مولکول‌های جذب شده بود.

**واژه‌های کلیدی:** آلیاژهای منیزیم، سطوح فوق‌آبگریز، خوردگی

## The Formation of Superhydrophobic Surface on the AZ31 Mg Alloy Using Chemical Immersion Method and The Investigation of Its Corrosion Behavior

Mehdi Yeganeh, Niloofar. Mohammadi, Sayed Mehdi Marashi

Department of Materials Science and Engineering, Faculty of Engineering, Shahid Chamran University of Ahvaz, Ahvaz, Iran.

(Received 28 July 2017, accepted 9 May 2017)

### Abstract

Considering the large functions of Mg alloys in the various industries, their weak surface properties including resistance to oxidation and corrosion have been regarded as the primary challenge to commercializing them. Obtaining superhydrophobic surfaces have been an efficient way for enhancement of the corrosion resistance feature which has drawn much attention. In the present study, the formation of superhydrophobic structure (SHPs) on the Mg alloy was investigated by immersion into the  $\text{CuCl}_2$  and  $\text{NiSO}_4$  solutions following by soaking in the stearic acid (SA) solution. The contact angle of the obtained surface after the process measured about  $151.5^\circ$ . Fourier transform infrared spectroscopy (FTIR) spectra showed the presence of some bonds of SA on the surface of Mg alloy. Besides, FESEM morphology of SHP Mg alloy illustrated a flake-like morphology which could prevent corrosive electrolyte penetration toward Mg surface. Electrochemical impedance spectroscopy (EIS) and potentiodynamic polarization tests illustrated that the corrosion resistance of SHP Mg was greater than Mg alloys about 1000 times which could be due to the presence of rough morphology and adsorbed hydrophobic molecules.

**Keywords:** Mg alloys, Superhydrophobic surfaces, Corrosion.

**E-mail of Corresponding author:** m.yeganeh@scu.ac.ir.

## مقدمه

آلیاژهای منیزیم بعنوان سبک‌ترین آلیاژ مهندسی خواص ویژه‌ای از جمله استحکام ویژه بالا، دانسیته کم، قابلیت ریخته‌گری خوب، قابلیت ماشین‌کاری و بازیافت دارند که باعث کاربردهای ویژه آن در زمینه‌های متفاوتی مانند خودروسازی، هواپضا، الکترونیک، ارتباطات، پزشکی و بسیاری از صنایع دیگر شده است [۱-۳]. مقاومت به خوردگی کم آلیاژهای منیزیم به دلیل پتانسیل کم الکترود استاندارد آن‌ها مشکل عمده کاربردشان در محیط‌های اتمسفری یا آبی است [۴]. همچنین منیزیم دارای فعالیت شیمیایی بالایی بوده و فیلم اکسیدی تشکیل شده روی آن متخلخل است [۵]. از جمله راه‌کارهای جدید برای افزایش مقاومت به خوردگی آلیاژهای منیزیم، ایجاد سطح فوق‌آبگریز به روی این آلیاژها است [۶-۸]. چنانچه سطح تماس مستقیم آلیاژهای منیزیم با محیط فعال کاهش یابد، فعالیت شیمیایی آن‌ها نیز به میزان چشم‌گیری کاهش می‌یابد. بنابراین ایجاد لایه و یا سطح فوق‌آبگریز می‌تواند روشی جالب برای بهبود مقاومت به خوردگی آلیاژهای منیزیم باشد [۹]. هدف از انجام این تحقیق ایجاد یک سطح فوق‌آبگریز به روی آلیاژ منیزیم AZ31 با یک روش ساده غوطه‌وری و سپس اصلاح‌سازی بوسیله استئاریک اسید است که می‌تواند سبب افزایش مقاومت به خوردگی این آلیاژ گردد.

## مواد و روش‌ها

آلیاژ تجاری منیزیم (۳٪ آلمینیوم و ۱٪ روی) به ورق‌هایی با ابعاد  $30 \times 25 \times 2$  میلی‌متر برشید و با ورق سمباده‌های شماره ۲۰۰۰ تا ۲۲۰۰ صیقلی شدنده. پس از آماده سازی اولیه قطعات به مدت زمان ۱ دقیقه درون متابول به کمک امواج اولتراسونیک شسته شده و سپس در ۱۰۰ میلی لیتر از محلول ۲ درصد وزنی سیتریک اسید ۱۰۰ میلی‌لتر از محلول ۲ درصد وزنی غوطه‌ور شدنده. در جهت فعل سازی سطح زیرلایه غوطه‌ور شدنده. در مرحله بعدی، نمونه‌ها ابتدا در محلول آبی  $\frac{3}{4}$  درصد وزنی کلرید مس به مدت ۵ دقیقه در دمای ۹۰ درجه

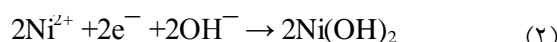
سانتری گراد و سپس در محلول سولفات‌نیکل (II) با غلظت ۸ گرم بر لیتر به مدت ۱۰ دقیقه در دمای ۸۰ درجه سانتری گراد غوطه‌ور گردیدند. نمونه‌های بدست آمده در محلول پایه اتانولی استئاریک اسید به مدت ۴ ساعت در دمای اتاق نگهداری و در نهایت در دمای ۱۲۰ درجه سانتری گراد به مدت ۱۵ دقیقه خشک شدند. مورفولوژی نمونه تولید شده به کمک میکروسکوپ الکترونی با وضوح بالا (CamScan Mira) مجهز به طیفسنج پراش انرژی پرتو ایکس (EDS) به دست آمد. اندازه پولک‌های موجود در مورفولوژی به کمک نرم‌افزار Image Analyzer به دست آمد. ترکیب شیمیایی نمونه نیز به کمک دستگاه پراش سنج پرتو ایکس Philips PW 1730 با استفاده از تابش Cu K $\alpha$  در محلوده  $20-90^{\circ}$  و ولتاژ ۴۰ کیلوولت و آمپر ۴۰ میلی‌آمپر دست آمد. زاویه تماس بوسیله دستگاه اپتیکال اندازه‌گیری زاویه تماس (Data physics OCA15 plus) اندازه گیری و پیوندهای موجود در نمونه‌ها به کمک طیفسنجی مادون قرمز در محلوده  $4000$  تا  $500\text{cm}^{-1}$  و به صورت عبوری بررسی شد. مقاومت به خوردگی نمونه‌ها با استفاده از دستگاه مجهز به یک سیستم ۳ الکترود با الکترود مرجع نقره/کلرید نقره شامل محلول اشباع شده با پتانسیم کلرید، الکترود شمارنده پلاتینی و آلیاژ منیزیم و آلیاژ منیزیم با سطح فوق‌آبگریز بعنوان الکترود کاری اندازه‌گیری شد. از سطح الکترود کاری ۱ سانتی متر مربع جدا شد و بقیه سطح به کمک لاصک عایق گردید. آزمایش‌ها در محلول آبی  $\frac{3}{5}$  درصد وزنی سدیم کلرید و بعد از ثبات پتانسیل انجام شد. اندازه‌گیری‌های مربوط به طیفسنجی امپدانس الکتروشیمیایی در محدوده فرکانسی ۱۰۰ میلی‌هرتز تا ۱۰۰ کیلو هرتز با یک دامنه انحراف موج سینوسی ۱۰ میلی‌ولت به کمک دستگاه 30 AUTOLAB PGSTAT انجام پذیرفت. آزمون پلاریزاسیون پتانسیو دینامیک در محدوده  $-300$  تا  $500$  میلی‌ولت و با نرخ روبش ۱

ذکر است که زاویه تماس آب که برابر  $151/5^{\circ}$  بود وجود یک سطح فوق آبگریز را تایید می‌کند. بسیاری از محققان جهت توضیح پدیده فوق آبگریزی از نظریه Cassie-Baxter بهره جسته‌اند که رابطه آن در معادله ۱ ارایه شده است [۱۰]:

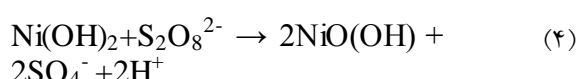
$$\cos\theta = f_{sl}(\cos\theta_0 + 1) \quad (1)$$

در معادله بالا  $\theta$  و  $\theta_0$  به ترتیب زاویه تماس آب با منیزیم با سطح فوق آبگریز و منیزیم،  $f_{sl}$  رابط کسری فصل مشترک بین جامد و آب،  $\theta_0$  زاویه تماس سطح جامد هستند. با کاهش سطح تقریبی میان جامد و آب،  $\theta$  افزایش می‌یابد؛ بنابراین هوای به دام افتاده در ناهمگونی‌های سطحی می‌تواند باعث ایجاد زاویه تماس بیشتر گردد و زاویه تماس بیشتر بین آب و هوا موجب جلوگیری از نفوذ آب یا هر مولکول مهاجم دیگری به سطح ماده می‌گردد [۱۰].

شکل ۱-ب نشان دهنده مراحل رسوب نیکل روی سطح منیزیم است. فاز  $\beta$  فعالیت شیمیایی کمتری نسبت به فاز  $\alpha$  دارد [۱۱]. فاز  $\alpha$  زودتر از  $\beta$  حل شده و کاتیون‌های منیزیم با دو بار مثبت و الکترون آزاد می‌کند. بعد از این کاتیون‌های نیکل با دو بار مثبت با الکترون‌ها و یون‌های هیدروکسیل واکنش داده طبق واکنش زیر، هیدروکسید نیکل تولید می‌کند:



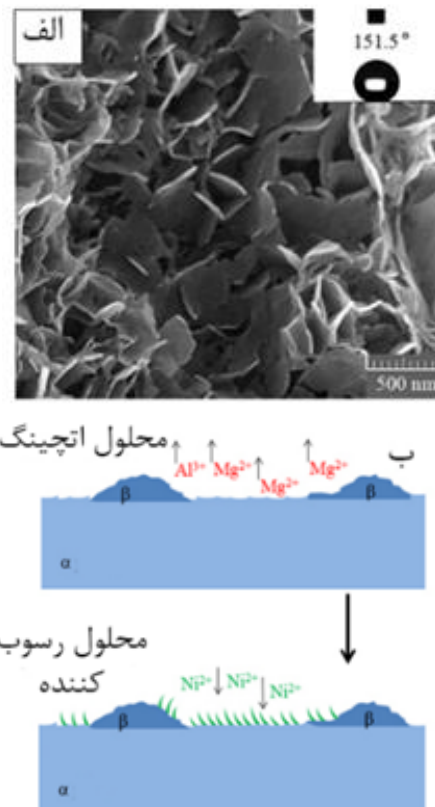
تشکیل ترکیبات هیدروکسیدی نیکل ممکن است تحت تاثیر حضور سولفات در محلول باشد. این ترکیبات می‌توانند با پرسولفات در محلول واکنش دهند و اکسید نیکل آب دار را طبق واکنش‌های زیر ایجاد نمایند [۱۲]:



میلی‌ولت بر ثانیه انجام شد. جهت حصول اطمینان از تکرار پذیری آزمون، سه تکرار انجام گردیده است.

## بحث و نتایج

شکل ۱-الف تصویر میکروسکوپی الکترونی مربوط به سطح فوق آبگریز ایجاد شده را نشان می‌دهد.

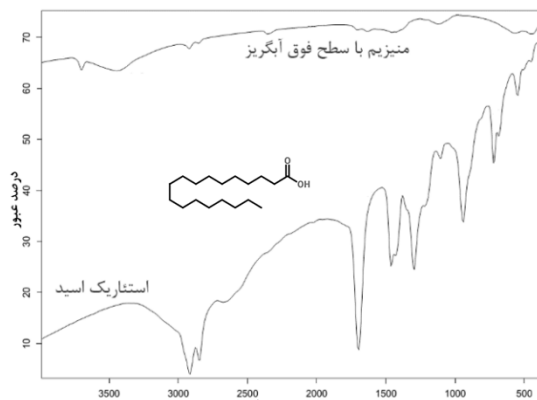


شکل ۱. (الف) مورفولوژی سطحی منیزیم فوق آبگریز. (ب) نمایی از فرآیند ایجاد سطح فوق آبگریزی.

مورفولوژی پولک مانندی که بعد از مراحل غوطه‌وری و اصلاح‌سازی مشاهده می‌شود، بعنوان مانعی در برابر نفوذ مولکول‌های آب عمل می‌کند. این سطح موجود از پولک‌های ظرفی که بطور یکنواخت توزیع شده‌اند حاصل می‌گردد. پولک‌های موجود دارای ضخامت ۲۰-۵۰ نانومتر هستند و از طریق به دام انداختن هوا مانع از نفوذ مایع درون پوشش می‌شوند [۶ و ۱۰]. لازم به

شکل ۲-الف مربوط به پراش اشعه ایکس حضور منیزیم، اکسید نیکل و اکسید منیزیم را در سطح فوق آبگریز نشان می‌دهد. پیک‌هایی که در حدود  $37/8$  درجه در الگوی پراش پرتو ایکس ظاهر شده است، می‌تواند مربوط به صفحه (111) فاز اکسید نیکل باشد. این صفحات قوی (111) می‌توانند به دلیل جهات ترجیحی مورفولوژی پولک مانند تشکیل شده در شکل ۱-الف باشند. از شکل ۲-ب می‌توان مشاهده نمود که در سطح ماده منیزیم، گوگرد، نیکل و اکسیژن وجود دارد. حضور منیزیم می‌تواند به ضخامت کم مواد رسوب داده شده و زبری سطحی مربوط باشد. گوگرد و نیکل می‌توانند هنگام تشکیل اکسید نیکل از محلول رسوب کنند، درصورتی که مس معمولاً نقش اچ کننده داشته و روی سطح رسوب نمی‌کند.

شکل ۳ نتایج حاصل از طیف‌سنجی مادون قرمز اسید استئاریک و منیزیم با سطح فوق آبگریز را نشان می‌دهد.

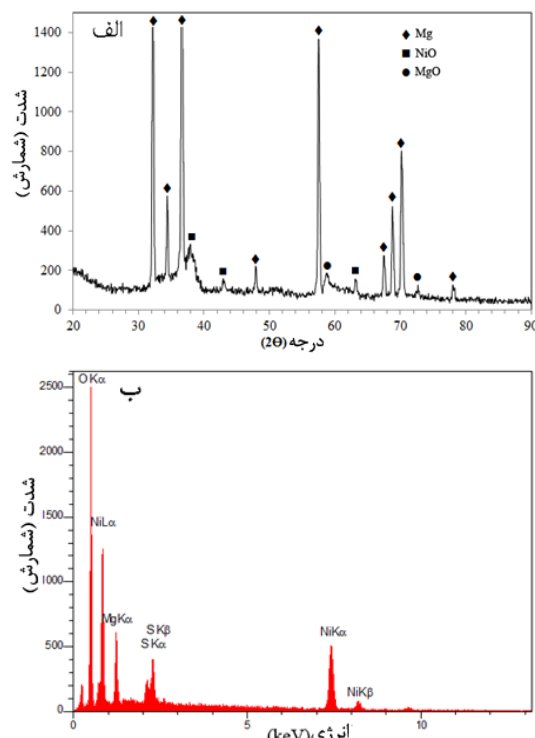


شکل ۳. منحنی حاصل از طیف‌سنجی مادون قرمز فوریه استئاریک اسید و منیزیم با سطح فوق آبگریز.

پیک‌های پیوندهای کششی ارتعاشی C-H در حدود  $2850\text{cm}^{-1}$  و  $2920\text{cm}^{-1}$  مشخص هستند که می‌توانند مرتبط به گروه‌های آلیفاتیک موجود در سطح فوق آبگریز ناشی از استئاریک اسید، باشند. پیوندهای در حدود  $1105\text{cm}^{-1}$  و  $1700\text{cm}^{-1}$  می‌توانند مربوط به گروه‌های

این واکنش‌ها می‌توانند تعیین کننده نرخ رشد اکسید نیکل باشند [۱۲]. بنابراین می‌توان نتیجه گرفت که تشکیل اکسید نیکل می‌تواند به علت دهیدراته شدن هیدروکسید نیکل و یا واکنش با مواد سولفوری درون محلول باشد. در انتها فاز تشکیل شده کاملاً فاز  $\alpha$  را می‌پوشاند و به محض پوشش فاز  $\alpha$  با اکسید نیکل، انحلال منیزیم متوقف می‌گردد. در مرحله بعد فاز  $\beta$  شروع به حل شدن می‌کند و کاتیون‌های منیزیم به دو بار مثبت و آلومنیوم به سه بار مثبت به علاوه الکترون آزاد می‌گردد. در پایان این مراحل، هر دو فاز  $\alpha$  و  $\beta$  بوسیله اکسید نیکل پوشانده شده و واکنش‌ها به تعادل می‌رسند [۱۱].

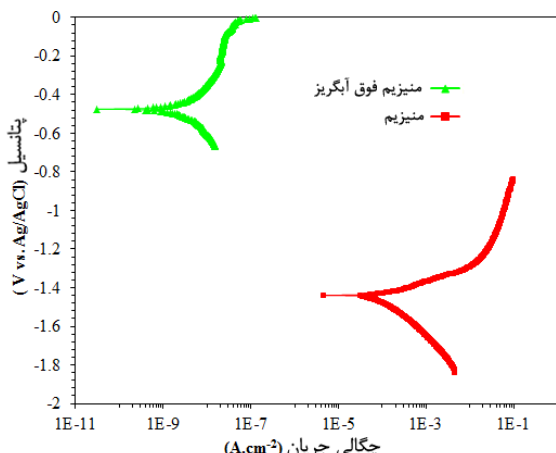
شکل ۲-الف و ب الگوی پراش پرتو ایکس و طیف‌سنجی پراش انرژی پرتو ایکس (EDS) مربوط به سطح منیزیم فوق آبگریز را نشان می‌دهد.



شکل ۲. الف) الگوی پراش پرتو ایکس و ب) طیف‌سنجی پراش انرژی پرتو ایکس منیزیم با سطح فوق آبگریز.

کاهش قابل توجه نفوذ الکتروولیت به فصل مشترک پوشش و زیرلایه است. وجود حلقه القایی می‌تواند از طریق مکانیزم‌هایی مانند تشکیل حفرات، تشکیل هیدروکسید و جذب آن توضیح داده شود [۱۷]. با اصلاح‌سازی سطحی و نهایی منیزیم، سطح آزاد و در دسترس آن از تماس با مواد و جذب یون‌ها حفظ شده است.  $R_{ct}$  مربوط به منیزیم و منیزیم فوق آبگریز به ترتیب  $340\text{ }\mu\text{m}^2/\text{V}\cdot\text{s}$  و  $420\text{ }\mu\text{m}^2/\text{V}\cdot\text{s}$  اهم در سانتی‌متر مربع و  $10^{10}\text{ }\Omega\text{-cm}^2$  در سانتی‌متر مربع اندازه‌گیری شده است. همچنین ظرفیت لایه خازنی مرتبط به منیزیم فوق آبگریز به علت کاهش واکنش انتقال بار از  $15\text{ F}/0.00015\text{ F}$  به  $25\text{ nF}/1\text{ F}$  کاهش پیدا کرد. علت افزایش قابل توجه مقاومت به خوردگی منیزیم فوق آبگریز می‌تواند به علت حضور سطح فوق آبگریز با ظاهری پولکی مانند و ترکیبی مقاوم به خوردگی و جذب گروه‌های عاملی کم انرژی از استئاریک باشد.

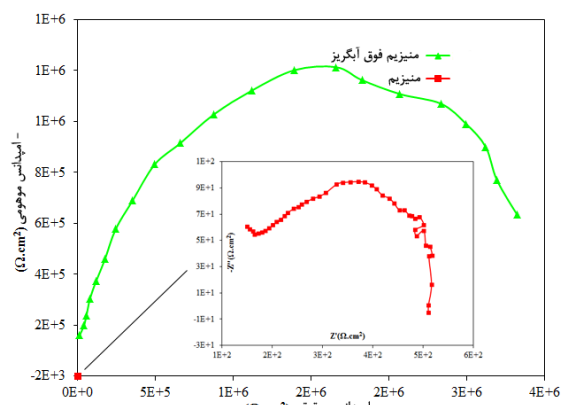
شکل ۵ نمودار پلاریزاسیون پتانسیو‌دینامیک مربوط به آلیاژ منیزیم و منیزیم فوق آبگریز را در محلول  $3/5$  درصد وزنی کلرید سدیم نشان می‌دهد.



شکل ۵. نمودار مربوط به پلاریزاسیون پتانسیو‌دینامیک منیزیم فوق آبگریز و آلیاژ منیزیم در محلول  $3/5$  Wt. % کلرید سدیم.

چگالی جریان خوردگی منیزیم فوق آبگریز و آلیاژ منیزیم به ترتیب برابر  $1/47\text{ }\mu\text{A.cm}^{-2}$  و  $82/7\text{ }\mu\text{A.cm}^{-2}$

استئاریک اسید باشند. پیوندهای مربوط به  $\text{C=O}$  و  $\text{C-C}$  در حدود  $112\text{ cm}^{-1}$  و  $1635\text{ cm}^{-1}$  دیده می‌شوند. همچنین پیوندی که در حدود  $837\text{ cm}^{-1}$  وجود دارد، حضور  $\text{C-OR}$  در سطح فوق آبگریز را نشان می‌دهد [۱۴ و ۱۳]. پیوندهای جذب شده مذکور موجود روی سطح منیزیم فوق آبگریز مشابه گروه‌های عاملی موجود در اسید استئاریک بوده و شاهدی بر وجود استئاریک اسید روی سطح منیزیم فوق آبگریز هستند. شکل ۴ طیف نایکوئیست مربوط به منیزیم و منیزیم فوق آبگریز را پس از غوطه‌وری در محلول  $3/5$  درصد وزنی کلرید سدیم نشان می‌دهد.



شکل ۴. منحنی نایکوئیست مربوط به منیزیم فوق آبگریز و آلیاژ منیزیم در محلول  $3/5$  Wt. % کلرید سدیم.

نمودار نایکوئیست منیزیم یک حلقه خازنی در فرکانس بالا تا متوسط و یک حلقه القایی را در فرکانس پایین نشان می‌دهد که تایید می‌کند در زمان غوطه‌وری منیزیم، دو زمان ثابت ایجاد شده است [۱۶ و ۱۵]. حلقه خازنی مشاهده شده در فرکانس بالا-متوسط ناشی از فرآیند انتقال بار است که به خازن الکتریکی لایه دوگانه مرتبط است. مقاومت انتقال بار یا مقاومت خوردگی ( $R_{ct}$ ) به عنوان  $Z''=0$ - وقتی که  $Z''=0$  باشد، اندازه‌گیری می‌شود که معمولاً در فرکانس‌های متوسط محاسبه می‌شود. ناپدید شدن حلقه القایی در رابطه با منیزیم فوق آبگریز بیانگر

- Corrosion, Advance Engineering Materials,*, (2015) 1 54.
2. Z. R. -Chang, Z. Jin, H. W.-Jiu, W. Dietzel, K. U. Kanier, C. Blawert, K.E. Wei, *Review of studies on corrosion of magnesium alloys, Trans, Nonferrous Met. SOC. China* 16 (2006) 763- 771.
3. M. Easton, A. Beer, M. Barnett, C. Davies, G. Dunlop, Y. Durandet, S. Blackket, T. Hilditch, P. Beggs, *Magnesium Alloy Applications in Automotive Structures*, 60 (2008) 57-62.
4. G. Song, A. Atrens, G. Song, A. Atrens, *Recent Insights into the Mechanism of Magnesium Corrosion and Research Suggestions*, advanced engineering materials 9 (2007) 177-183.
5. R. Udhayan, D.P. Bhatt, *On the corrosion behavior of magnesium and its alloys using electrochemical techniques*, J. Power Sources 53 (1996) 103–107.
6. Miaomiao Liang, Yinghui Wei, Lifeng Hou, Haiyang Wang, Chunli Guo, *Fabrication of a super-hydrophobic surface on a magnesium alloy by a simple method*, Journal of Alloys and Compounds, 656(2016) 311-317.
7. Takahiro Ishizaki, Sou Kumagai, Mika Tsunakawa, Takuya Furukawa, Kae Nakamura, *Ultrafast Fabrication of Superhydrophobic Surfaces on Engineering Light Metals by Single-Step Immersion Process*, Materials Letters, 193(2017) 42-45.
8. Joy Gray-Munro, Justin Campbell, *Mimicking the hierarchical surface topography and superhydrophobicity of the lotus leaf on magnesium alloy AZ31*, Materials Letters, 189( 2017) 271-274.
9. Shaohua Wang, Xingwu Guo, Yijun Xie, Lihua Liu, Haiyan Yang, Rongyu Zhu, Jia Gong, Liming Peng, Wenjiang Ding, *Preparation of superhydrophobic silica film on Mg-Nd-Zn-Zr magnesium alloy with enhanced corrosion resistance by combining micro-arc oxidation and sol-gel method*, Surface & Coatings Technology 213 (2012) 192–201.
10. A.B.D. Cassie, S. Baxter, *Surface roughness and contact angle*, Trans. Faraday Soc. 40 (1944) 546–551.
11. Hui Feng, Shuhong Liu, Yong Du, Ting Lei, Tiechui Yuan, *Effect of the second phases on corrosion behavior of the Mg-Al-Zn alloys*,

برآورد شد. همانطور که مشاهده می‌شود دانسته جریان خوردگی منیزیم با سطح فوق آبگریز حدود ۱۰۰۰ مرتبه کمتر از آلیاژ منیزیم است که بیشتر بودن خوردگی آلیاژ منیزیم را در محیط‌های خورنده حاوی کلرید نشان می‌دهد. پتانسیل خوردگی منیزیم با سطح فوق آبگریز بسیار مثبت‌تر از آلیاژ منیزیم است که می‌تواند ناشی از فعال بودن بیشتر منیزیم و تمایل به خوردگی بیشتر آن در محیط خورنده باشد. همان طور که قبل ذکر شد، فاز اکسید نیکل با استفاده از روش‌های شیمیایی روی سطح منیزیم شکل گرفت و می‌تواند بعنوان یک مانع در برابر گونه‌های خوردگی و مولکول‌های آب عمل کند و بنابراین منیزیم با سطح فوق آبگریز مقاومت به خوردگی بیشتری نسبت به آلیاژ منیزیم نشان داد.

### نتیجه‌گیری

در این تحقیق، منیزیم فوق آبگریز از طریق غوطه‌وری ورق‌های منیزیمی در نمک‌های کلرید مس و سولفات‌نیکل (II) و سپس اصلاح‌سازی در محلول اسید استئاریک به دست آمد. سطح ایجاد شده به دلیل وجود ساختار پولک مانند با ضخامت نانومتری بر روی آن، از خود خاصیت فوق آبگریزی با زاویه تماس آب  $151/5^{\circ}$  نشان داد. همچنین ساختار ایجاد شده مانع از نفوذ آب به درون پوشش شده و منیزیم فوق آبگریز در محیط‌های خورنده حاوی یون‌های کلرید مقاومت به خوردگی قابل توجهی از خود نشان داد. مقاومت به خوردگی منیزیم فوق آبگریز بیشتر از ۱۰۰۰ برابر آلیاژ منیزیم شاهد به دست آمد که ناشی از فرآیندهای سطحی مانند غوطه‌وری و اصلاح سطحی به کمک استئاریک اسید بود.

### منابع

1. A. Atrens, G.-L. Song, M. Liu, Z. Shi, F. Cao, M. S. Dargusch, *Review of Recent Developments in the Field of Magnesium*

Journal of Alloys and Compounds, 695, 25 (2017) 2330-2338.

12. S.-Y. Han, D.-H. Lee, Y.-J. Chang, S.-O. Ryu, T.-J. Lee, C.-H. Chang, *The Growth Mechanism of Nickel Oxide Thin Films by Room-Temperature Chemical Bath Deposition*, Journal of The Electrochemical Society, 153 (2006) 382-386.

13. W.F. Ng, M.H. Wong, F.T. Cheng, *Stearic acid coating on magnesium for enhancing corrosion resistance in Hanks' solution*, Surf. Coat. Technol. 204 (2010) 1823–1830.

14. M. Hatami, M Yeganeh, A. Keyvani, M. Saremi, R. Naderi, *Electrochemical behavior of polypyrrole-coated AZ31 alloy modified by fluoride anions*, J. Solid. State. Electrochem. 21 (2017) 777–785

15. M. Yeganeh, M. Saremi, *Corrosion inhibition of magnesium using biocompatible Alkyd coatings incorporated by mesoporous silica nanocontainers*, Progress in Organic Coatings 79 (2015) 25–30.

16. A. Keyvani, M. Yeganeh, H. Rezaeyan, *Application of mesoporous silica nanocontainers as an intelligent host of molybdate corrosion inhibitor embedded in the epoxy coated steel*, Progress in Natural Science: Materials International, 27 (2017) 261-267.

17. Zhiguang Guo, Weimin Liu, Bao-Lian Su, *Superhydrophobic surfaces: From natural to biomimetic to functional*, Journal of Colloid and Interface Science 353 (2011) 335–355.